

秋田高専 正員 対馬 雅己

1. はじめに

前回の報告¹⁾は、排水せん断試験において主に応力履歴を受けた有機質土の強度特性について検討した。本文では、有機質土、粘性土およびその混合土について、正規圧密および過圧密状態における強度とそのダイレタンシーとの関係について実験的に検討を加えたものである。

2. 試料および実験方法

実験に用いた試料は、乱した有機質土および粘性土であり、さらにこれらの試料から乾燥重量比1:1として混合した混合土(以下CP50と呼ぶ)を用いた。それらの物性を表1に示す。これらの試料を液性限界以上の高含水比で十分練り返したものと、気泡が混入しないように十分注意しながら圧密容器に入れ

試料	比重 G_s	液性限界 $LL(\%)$	塑性指数 I_p	強熱減量値 $I_d(\%)$	正規相数 C_c	膨張指数 C_e
有機質土	1.82	430	237	58	1.79	0.308
CP50	2.17	201	96	34	1.40	0.164
粘性土	2.68	68	32	6	0.34	0.034

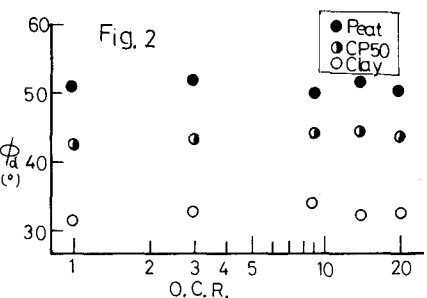
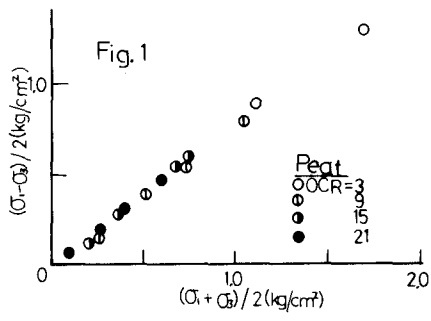
Table 1

所定の圧力を予圧密した。試験は予圧密終了後、直徑3.5cm、高さ8.75cmの円柱形の供試体に成形し、つぎの2種類の試験を実施した。1) CID試験: 0.6, 1.2, 1.8, 2.4 kg/cm^2 の4種類の側圧で等方圧密し、排水三軸圧縮試験を行なう。2) CIRID試験: 0.6, 1.2, 1.8, 2.4 kg/cm^2 の4種類の側圧で等方圧密した後に、各側圧についてそれぞれ3, 9, 15, 21の過圧密比で等方的に膨張させ、排水三軸圧縮試験を行なう。

排水試験における体積変化量は、供試体の上端部から測定された排水量によって求めた。また供試体の端面摩擦を軽減するために、シリコングリースを塗ったドーナツ型のゴム膜を使用した。なお破壊規準としては $(\sigma_1 - \sigma_3)_{max}$ によった。

3. 実験結果および考察

図-1は有機質土の過圧密状態におけるせん断抵抗角 ϕ_d を求めるための代表的な一例である。図-1より4種類の各側圧について同一の過圧密比からせん断抵抗角 ϕ_d を求め、それと各過圧密比との関係を示せば図-2となる。同図には上述の方法と同様にして得られた粘性土、CP50の ϕ_d についてもプロットしている。有機質土、粘性土およびCP50のせん断抵抗角 ϕ_d はともに過圧密比に関係なくほぼ一定となり、正規圧密状態における ϕ_d とはほぼ同じ値となるようである。このことから今回の排水せん断試験においては、応力履歴の相違がせん断抵抗角の値に大きな影響をもたないことを示している。またそれらのせん断抵抗角は、有機物含有量による影響を受けて強熱減量値の増加とともにあって大きな値をもつようである。最大軸差応力 $(\sigma_1 - \sigma_3)_{max}$ のときの軸ひずみ E_f を過圧密比をパラメーターとして示したのが図-3である。有機質土において、正規圧密状態での破壊時の E_f は約45%であり、過圧密比の増加とともにその値は減少しOCR=9付近で約10%となり、それ以後は過圧密比によらずほぼ一定となるようである。また、粘性土およびCP50については、正規圧密状態における破壊時の E_f はそれぞれ約20, 36%であり、過圧密比の増加とともに減少し有機質土と同様、OCR=9以降ほぼ一定となる。このように破壊時の軸ひずみは、有機質土、粘



性土およびCP50では、正規圧密状態においてかなり異なるが、 $OCR = 9$ 以降の過圧密比では試料の種類に関係なく、ほぼ一定値に収束することは興味深いことである。つぎに正規圧密および過圧密状態において、せん断過程中に発生するダイレイタンシーについて検討してみる。既報²⁾より排水状態におけるダイレイタンシー E_d は、

$E_d = E_u - 3C_s \Delta O_m \dots (1)$ ここに E_u は応力変化による全體積ひずみ、 $3C_s \Delta O_m$ は等方応力成分による体積ひずみである。そこで(1)式で示されるダイレイタンシー量と正八面体面上の応力比 $\Delta t_{oct}/O_m$ との関係について考えてみる。図-4～図-6は有機質土の正規圧密および過圧密状態におけるダイレイタンシー E_d と応力比 $\Delta t_{oct}/O_m$ について示したものである。これらの図より E_d と応力比 $\Delta t_{oct}/O_m$ は、ある領域までについては圧密圧力および先行圧密圧力に関係なくほぼ線形関係が認められる。正規圧密状態における E_d は $\Delta t_{oct}/O_m$ の増加とともにあって、ほぼ直線的に収縮する傾向を示す(図-4)。しかし軽く過圧密された試料の E_d は応力比0.6付近までは、ほぼ直線的に膨張しそれ以後の応力比では前図と同様収縮することがわかる(図-5)。また過圧密比21における E_d は応力比0.8付近までは上述と同様な挙動を示し、それ以後は線形関係からずれていくき急激に膨張する傾向がみられる。またこの現象は粘性土およびCP50のダイレイタンシー挙動にも同様な傾向がみられ、せん断破壊に達する前にある応力比の領域で急激に膨張する点が存在するようである。この点についてはデータの蓄積を待ってさらに検討していかたい。有機質土、粘性土およびCP50の正規圧密および過圧密状態において、偏差応力成分によって発生するダイレイタンシー E_d と応力比 $\Delta t_{oct}/O_m$ との間に線形関係が成立すれば、そのダイレイタンシー式として $E_d = \gamma + \eta \Delta t_{oct}/O_m \dots (2)$ の形式が近似的に用いられる。ここで γ は E_d が $\Delta t_{oct}/O_m$ に比例する領域におけるダイレイタンシー係数である。そこで(2)式に示されるダイレイタンシー係数 γ と過圧密比との関係を各試料について示せば図-7となる。これらの試料における γ は、ともに過圧密比に関係なくほぼ一定となる傾向を示し、試料の違いによる γ には有機物含有量の増大とともに大きくなるようである。このような現象と図-2における γ_d と過圧密比との挙動を併せ考えると、正規圧密および過圧密状態における土の強度定数とダイレイタンシー係数とは深くかかわりあっているものと推論される。

(参考文献) 1) 田畠・矢野・村馬: 有機質土の強度特性に及ぼす応力履歴の影響について 土木学会東北支部 第1980年会

2) 宮川・村馬・岩崎: 有機質土の強度試験結果に関する一考察, 第10回土質工学会, 1975

3) 北郷・細地・北村・村馬: 平面ひずみ状態における過圧密粘土の強度特性, 第13回土質工学会, 1978

